

ВОДОРОДОПОДОБ НЫЕ АТОМЫ

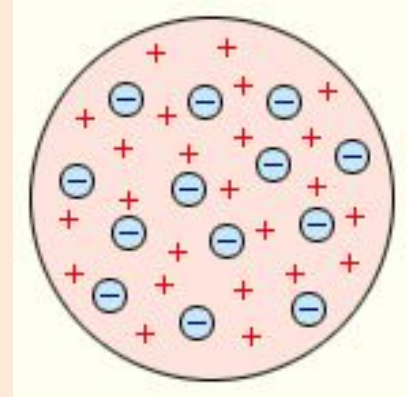
**Гипотеза о том, что
вещества состоят из
атомов, впервые была
высказана Левкиппом и
Демокритом примерно
в IV веке до н. э.**

МОДЕЛИ АТОМА

Ранние модели:

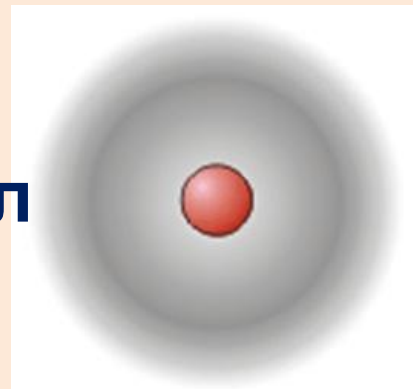
1) Модель Томсона – “булочка с изюмом”

Томсон предложил рассматривать атом как положительно заряженное тело с заключёнными внутри него электронами. Впоследствии модель была опровергнута опытами Резерфорда.



2) Планетарная модель Нагаоки

В 1904 году Хантаро Нагаока предложил модель атома, построенную по аналогии с планетой Сатурн: вокруг маленького положительного ядра вращались электроны, объединённые в кольца.



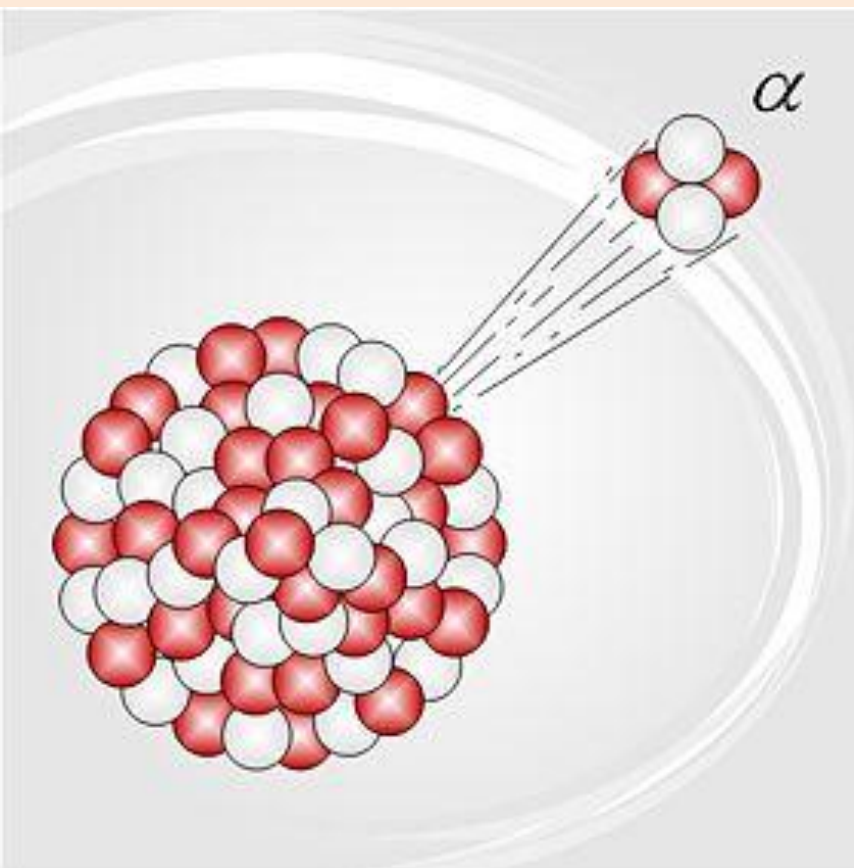
Опыт Резерфорда по рассеянию α -частиц



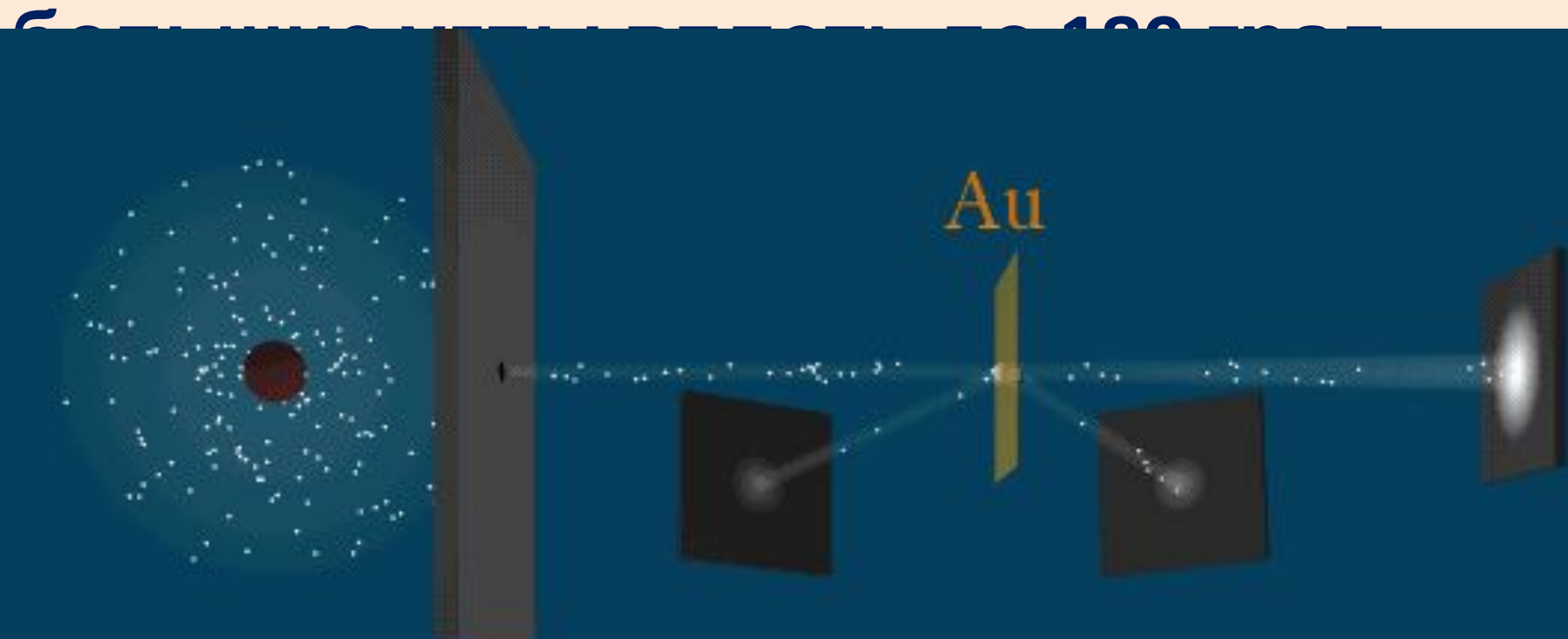
Эрнест
Резерфорд

Альфа-частица
образована 2-мя
протонами и 2-мя
нейтронами, заряжена
положительно.
Идентична ядру атома
гелия (${}_4^{\text{He}}{}^{2+}$).

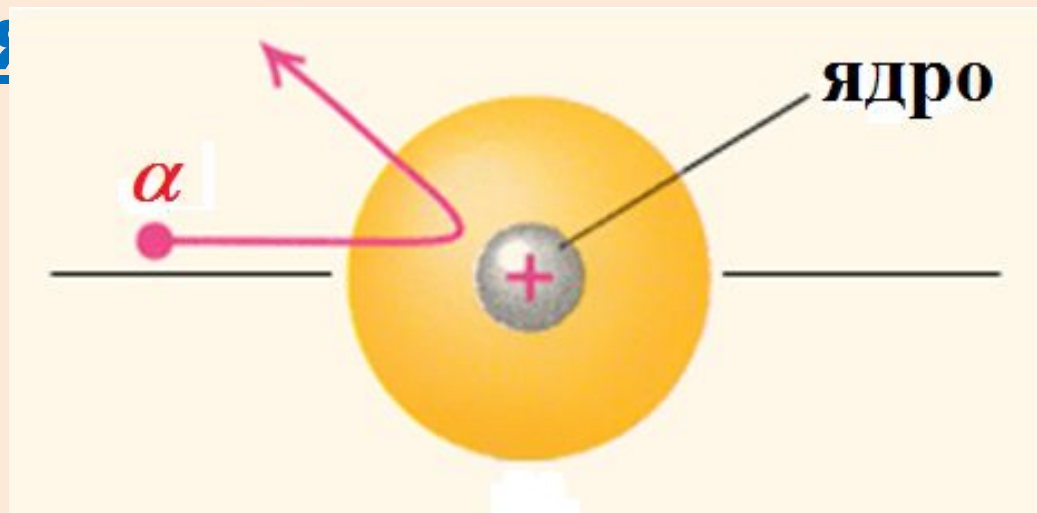
Образуется при α -
распаде ядер. При этом
ее скорость достигает
 $1.6 \cdot 10^7$ м/с .



Резерфорд направил поток а-частиц на золотую фольгу толщиной около 0,1 мкм. Большинство частиц пролетели сквозь фольгу, но некоторые отклонились на очень

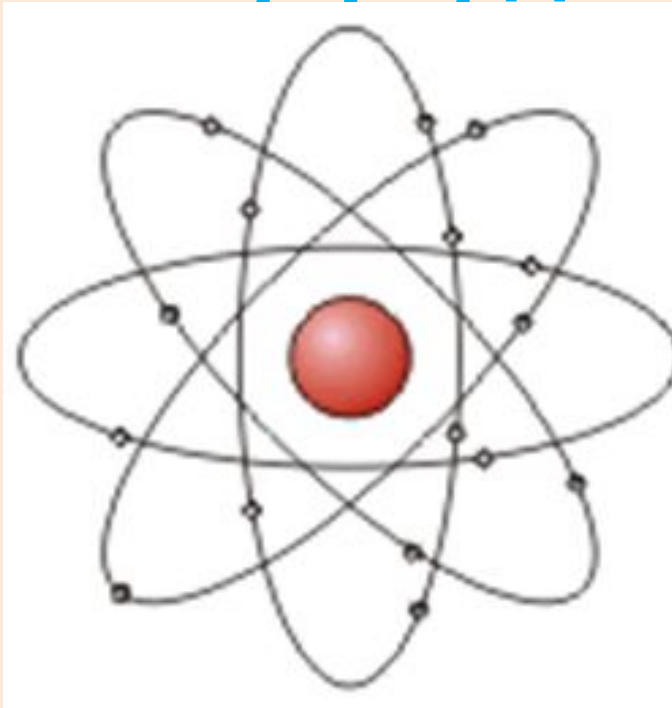


Резерфорд сделал вывод:
Причиной рассеяния α -частицы
является ее электрическое
взаимодействие с малой по размеру
положительно заряженной частью
атома - ядром



В ядре сосредоточена почти вся
масса атома и весь его
положительный заряд

Планетарная модель атома Резерфорда



Атом представляет собой подобие планетной системы, в которой электроны движутся по орбитам вокруг тяжёлого положительно заряженного ядра

**Размер
ъи:
ядра $\approx 10^{-15}$, атома 10^{-10} м.**

Неустойчивость атома
Согласно крауссовой
электродинамике электрон при
движении с центростремительным
ускорением должен излучать
электромагнитные волны и терять
энергию. В итоге он упадёт на ядро.

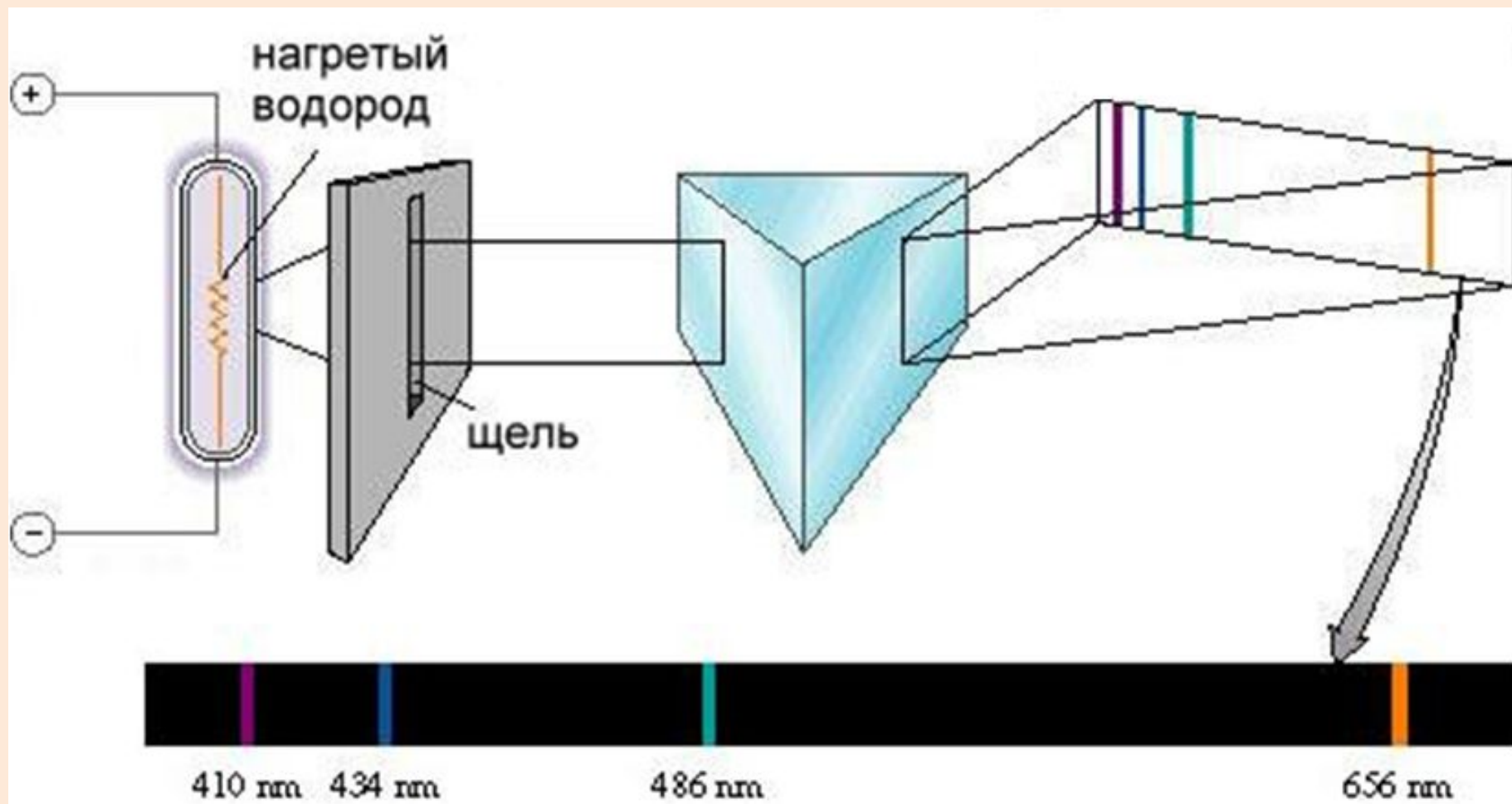
Для объяснения стабильности атомов
Нильсу Бору пришлось ввести особые
предположения – постулаты. Постулаты
Бора показали, что для атома классическая

Теория водородоподобного атома по Бору

При построении теории Бор
опирался на опыт Резерфорда
и данные по спектрам
атомарных газов. Согласно
опыту эти спектры
линейчатые.

- Водородоподобный атом – это атом с одним внешним электроном: Na, K, Rb, Cs.
- Спектр атома – это набор излучаемых или поглощаемых частот.





Спектр испускания атомарного водорода.

Спектр атома водорода образован сериями линий. Линии сгущаются к высокочастотной границе серии. В видимой области наблюдается серия Бальмера.

Еще одна серия есть в УФ области. А в ИК диапазоне – много серий.

Серии: ... Брэкета Пашена Бальмера

Лаймана



Бальмер подобрал формулу для частот спектральных линий:

$$\nu_{nm} = R \left(\frac{1}{m^2} - \frac{1}{n^2} \right)$$

Для серии Бальмера $m = 2, n = 3, 4, 5, \dots$.

Для серии Лаймана $m = 1, n = 2, 3, 4, \dots$.

R - постоянная Ридберга

$$R = 3,3 \cdot 10^{15} \text{ Гц.}$$

Постулаты Бора

Первый постулат Бора (постулат стационарных

Атом может находиться только в особых стационарных или квантовых состояниях, каждому из которых соответствует определенная энергия W_n .

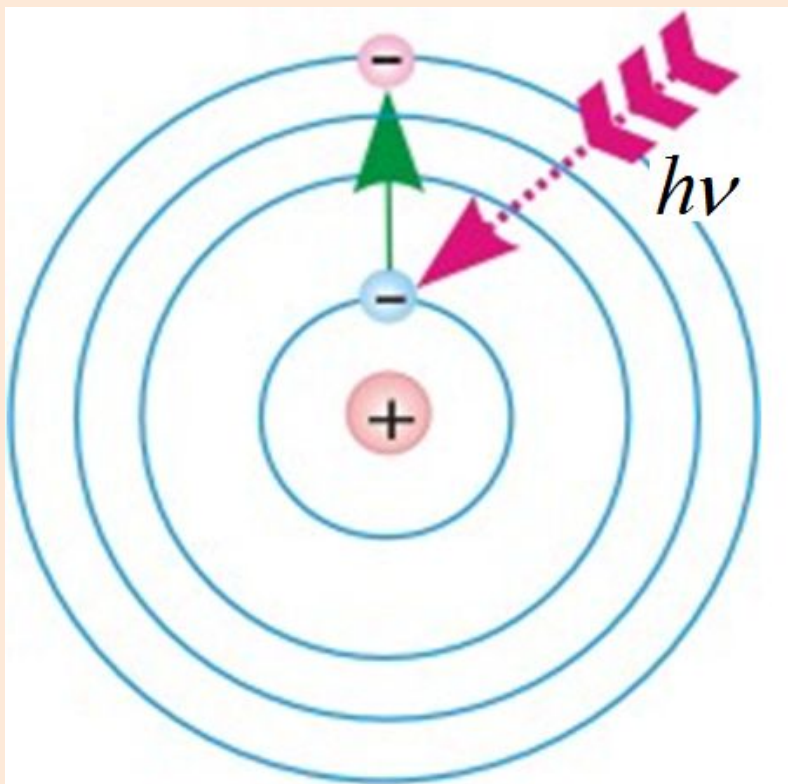
В стационарных состояниях атом не излучает.

Второй постулат Бора (правило частот)

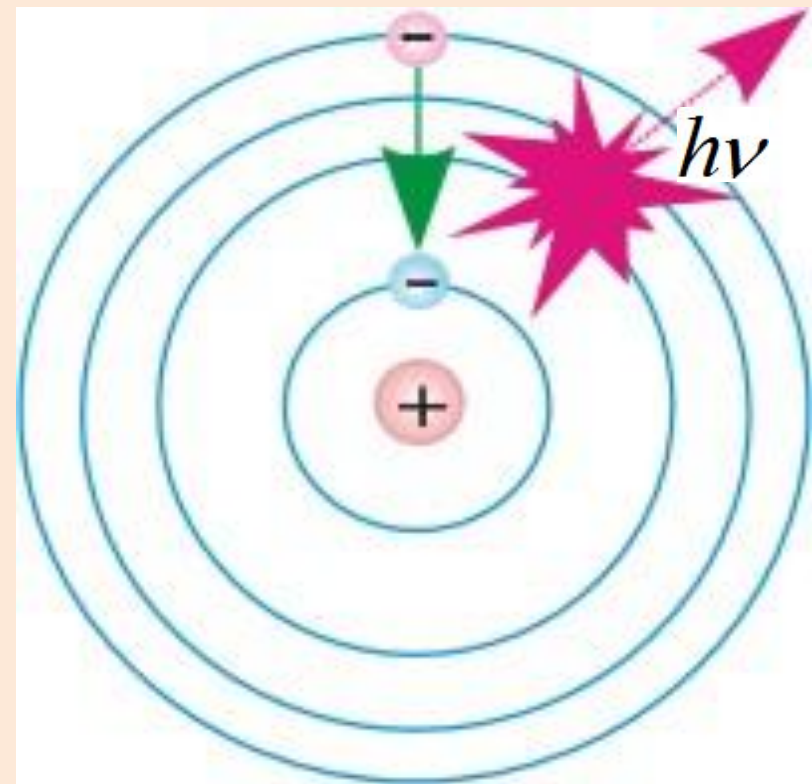
При переходе атома из одного стационарного состояния с энергией W_n в другое с энергией W_m излучается или поглощается квант, энергия которого равна разности энергий этих состояний.

$$\hbar\nu_{nm} = W_n - W_m$$

Квант света поглощается



Квант света излучается



Третий постулат (квантование орбит)

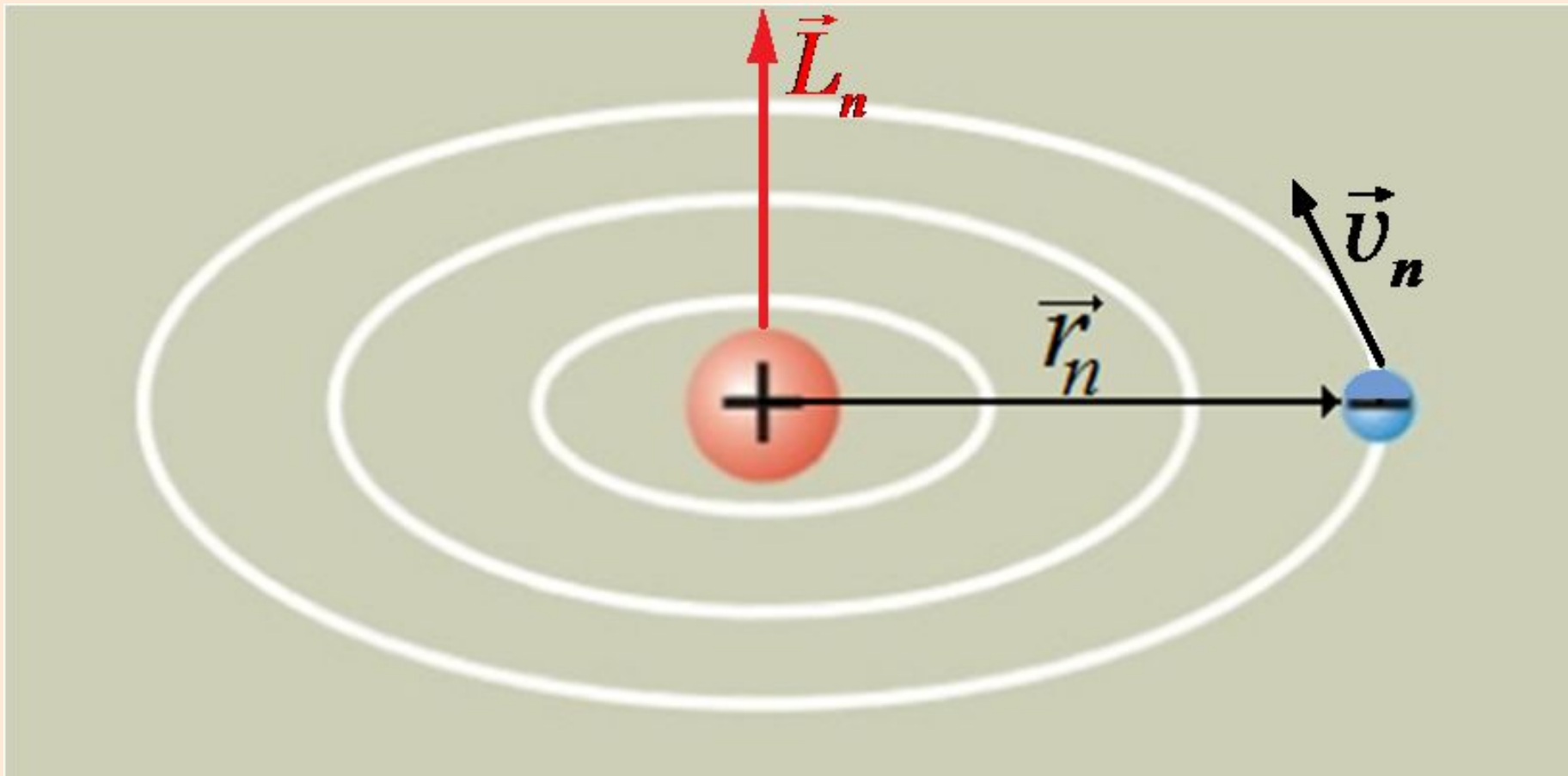
Момент импульса электрона в атоме принимает только дискретные значения, кратные постоянной Планка:

$$mv_n r_n = n \hbar$$

m – масса электрона,

**v_n – его скорость на орбите радиуса
 r_n , $n = 1, 2, 3 \dots$**

Момент импульса $L_n = m \vec{v}_n \vec{r}_n$



На электрон действует
кулоновская сила. По 2-му закону

Ньютона
 $ma = F_K$

$$m \frac{v^2}{r} = k \frac{Ze \cdot e}{r^2}$$

$$r_n = \frac{\pi^2}{kZe^2 m} n^2$$

Радиус ближайшей к ядру
орбиты называют
первым боровским
радиусом.

$$a_B = r_1 = \frac{\pi^2}{kZe^2 m} = 52,8 \text{ пм}$$

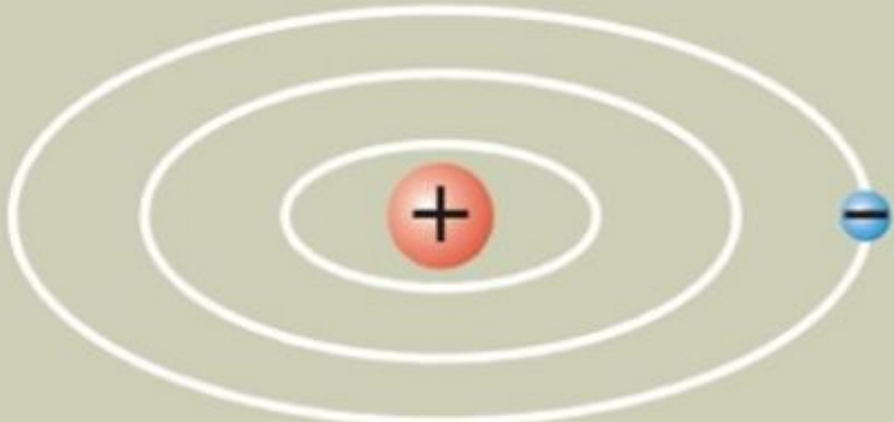
$$Z - \text{заряд ядра}, k = \frac{1}{4\pi\epsilon_0}$$

Полная энергия электрона в атоме:

$$W_n = -\frac{k^2 e^4 m}{2\pi^2} \cdot \frac{Z^2}{n^2}$$

Энергия электрона на первой
боровской орбите в атоме
водорода:

$$W_1 = -13,6$$



Энергия
электрона в
атоме
отрицатель
на. При
удалении от
ядра она
стремится к
нулю.

Частота излучения при переходе с n -го на m -й уровень энергии:

$$\nu_{nm} = \frac{W_m - W_n}{h} = \frac{k^2 m_e e^4}{2\pi^3} \left(\frac{1}{m^2} - \frac{1}{n^2} \right) = R \left(\frac{1}{m^2} - \frac{1}{n^2} \right)$$

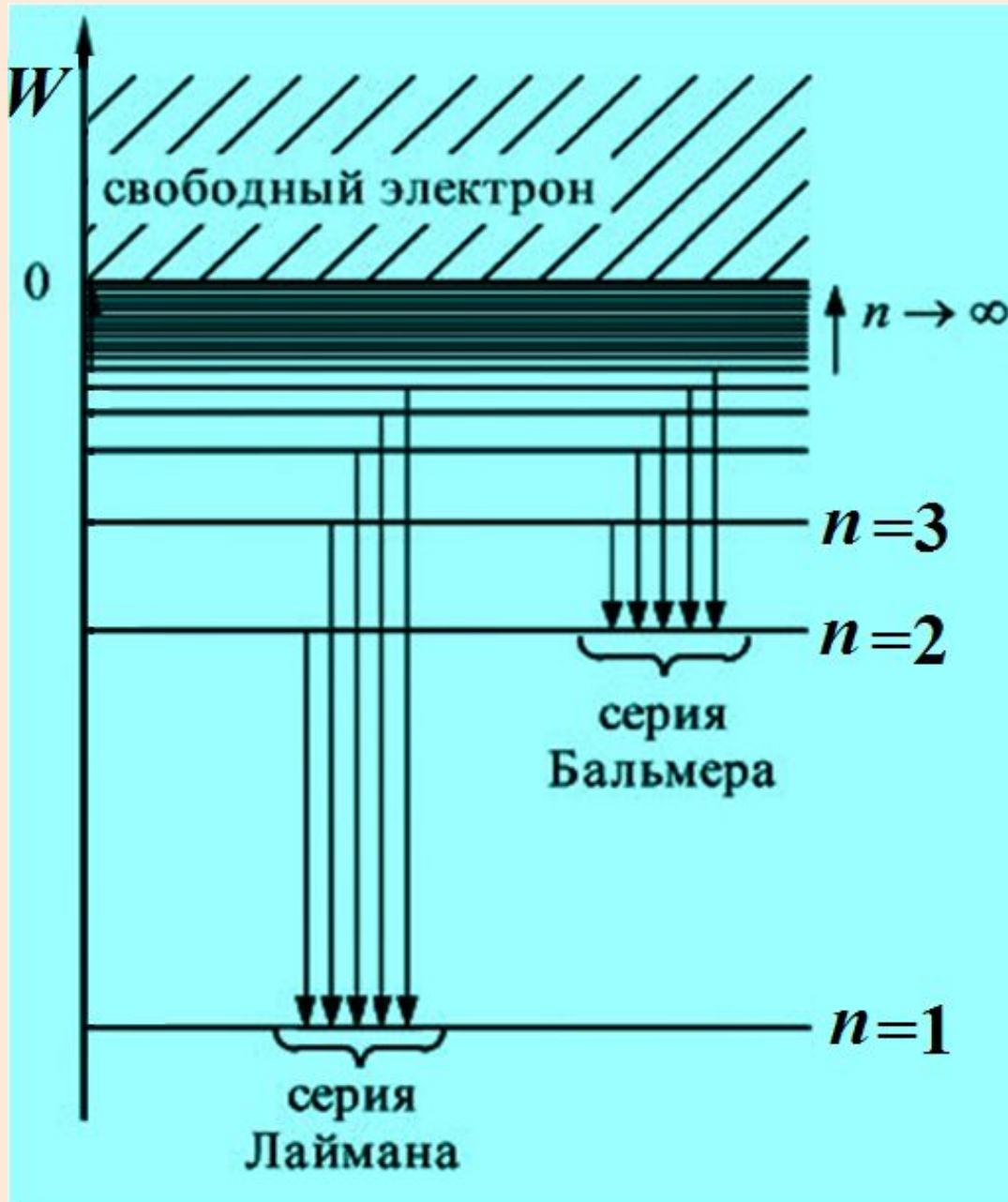
$R = 3,3 \cdot 10^{15}$ Гц - частотная константа

Ридберга, ее значение совпало с
угаданным Бальмером
длины волн:

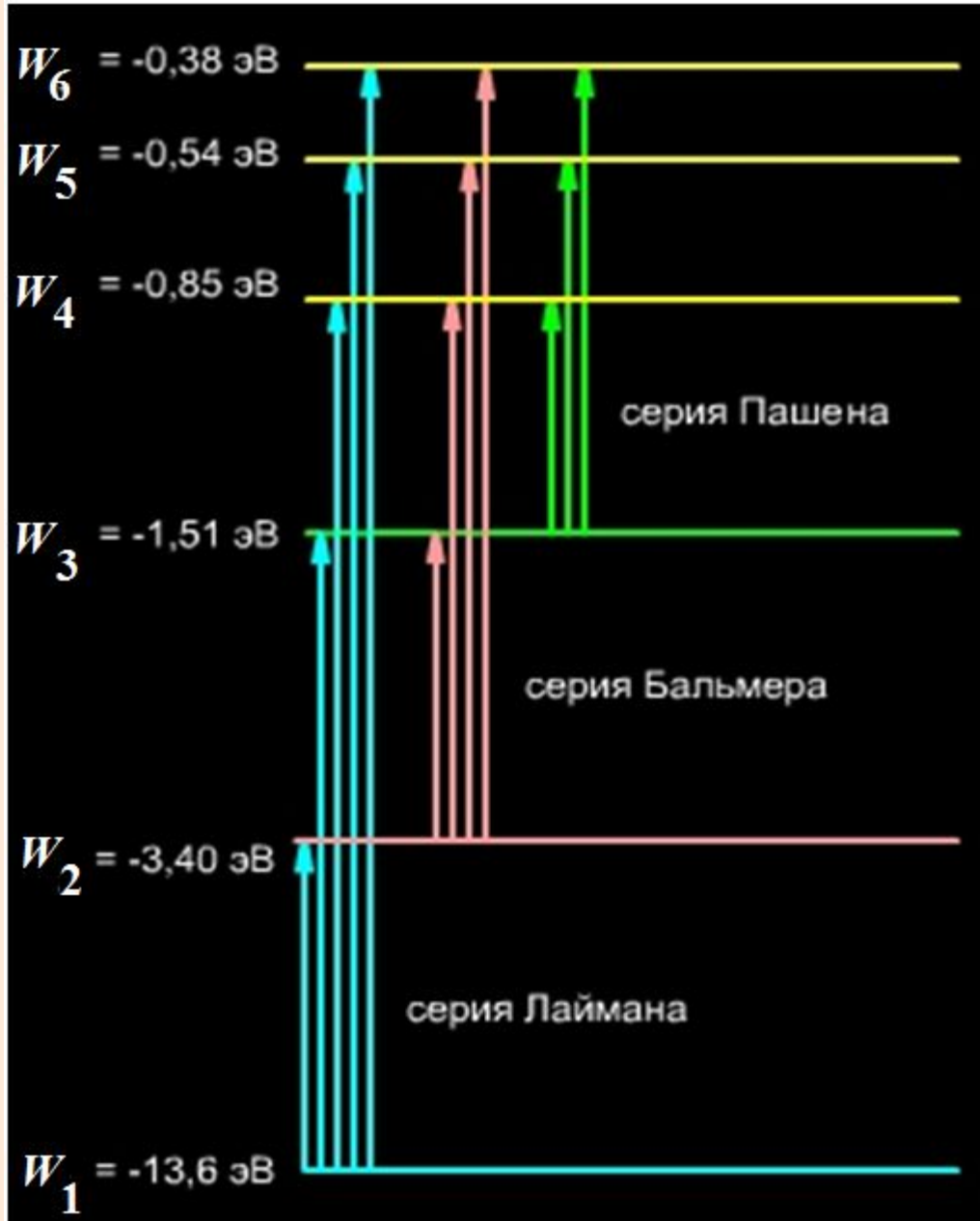
$$\frac{1}{\lambda_{nm}} = R' \left(\frac{1}{m^2} - \frac{1}{n^2} \right)$$

$R' = 1,1 \cdot 10^7$ м⁻¹ - волновая константа Ридберга

Спектры излучения водорода



Спектры поглощения водорода

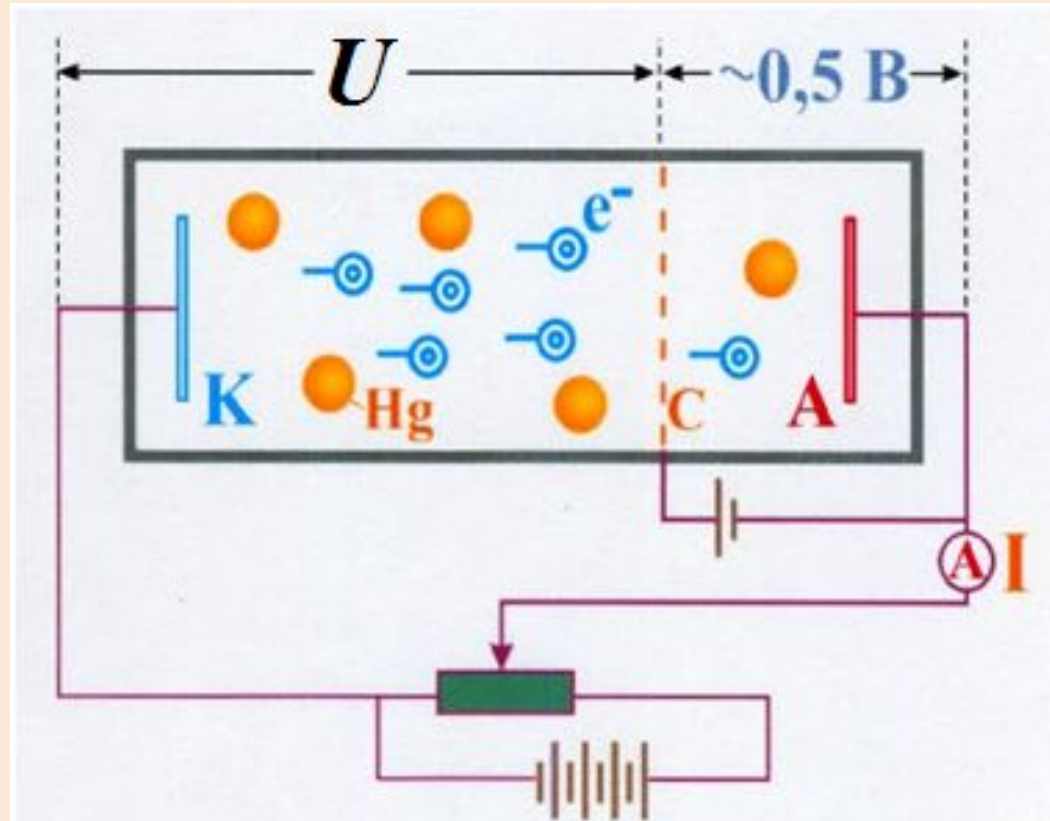


Для серии
Лаймана $m=1, n=2, 3, 4, \dots$
Бальмера $m=2, n=3, 4, 5, \dots$
Пашена $m=3, n=4, 5, 6, \dots$

Опыт Франка и Герца

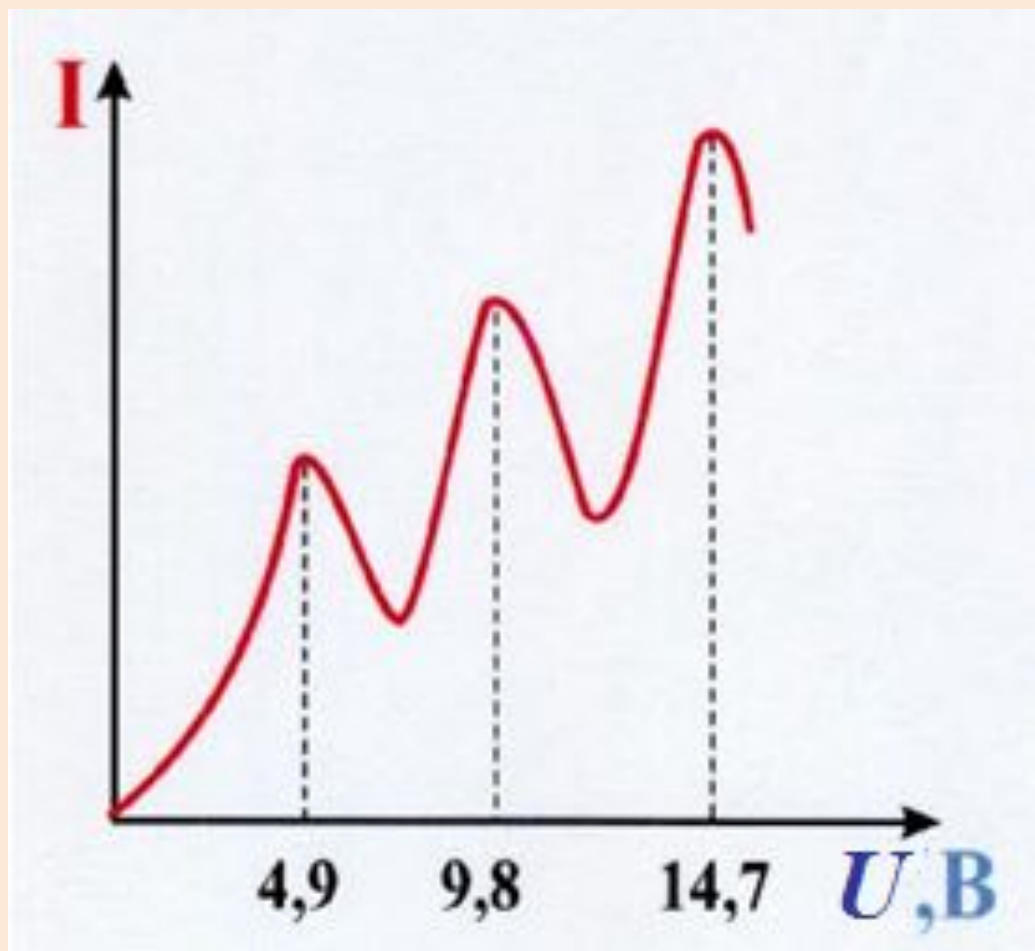
Квантовые постулаты Бора
нашли экспериментальное
подтверждение в опыте Дж.
Франка и Г. Герца.

Опыт заключался в пропускании
электронного пучка через пары
ртути.



Электроны, испускаемые катодом К, ускоряются в электрическом поле, созданном между катодом и анодом А. Между катодом и сеткой С поддерживается небольшое (~1В) задерживающее напряжение, которое не пропускает «ослабевшие» электроны к аноду.

BAX



Через пары ртути пропускался поток электронов, энергия которых постепенно увеличивалась. Сначала электроны, сталкиваясь с атомами ртути, не теряют своей энергии, то есть удары упругие. И электрический ток растет. Когда же энергия электронов становится равной 4.9 эВ атомы ртути переходя в возбужденное состояние, забирая энергию у электронов докрадает. Минимальная порция, которую может поглотить атом ртути Hg, равна 4,9 эВ.

**Теория Бора дала не
только качественное, но
и количественное
описание атомных
спектров, а также
опытов Франка и Герца.**

Достоинства и недостатки теории Бора

- **Достоинства:**

- 1. Объяснила линейчатый спектр атомов.
- 2. Предсказала значения частот.
- 3. Правильно определила размеры атома водорода.
- 4. Рассчитала константу Ридберга.

- **Недостатки:**

- 1. Для объяснения квантовых явлений использовала не только квантовую, но и классическую физику.
- 2. Не смогла рассчитать интенсивность спектра излучения.
- 3. Не дает объяснений причин перехода между уровнями энергии.

Квантовая теория атома

Электрон в атоме находится в потенциальной яме. Применим к нему уравнение Шредингера

$$\Delta\psi + \frac{2m}{\hbar^2} (W - U) \psi = 0$$

Решение уравнения дает дискретные значения энергии

$$W_n = -R \frac{Z^2 h}{n^2},$$

совпадающие с полученными Бором

n=1, 2, ... - главное квантовое
число.

Оно определяет энергию
электрона, степень его
удаленности от ядра, размеры
электронной орбиты.

Квантование момента

импульса

Модуль момента импульса

электрона L принимает

дискретные значения:

$$L = \hbar \sqrt{\ell(\ell + 1)}$$

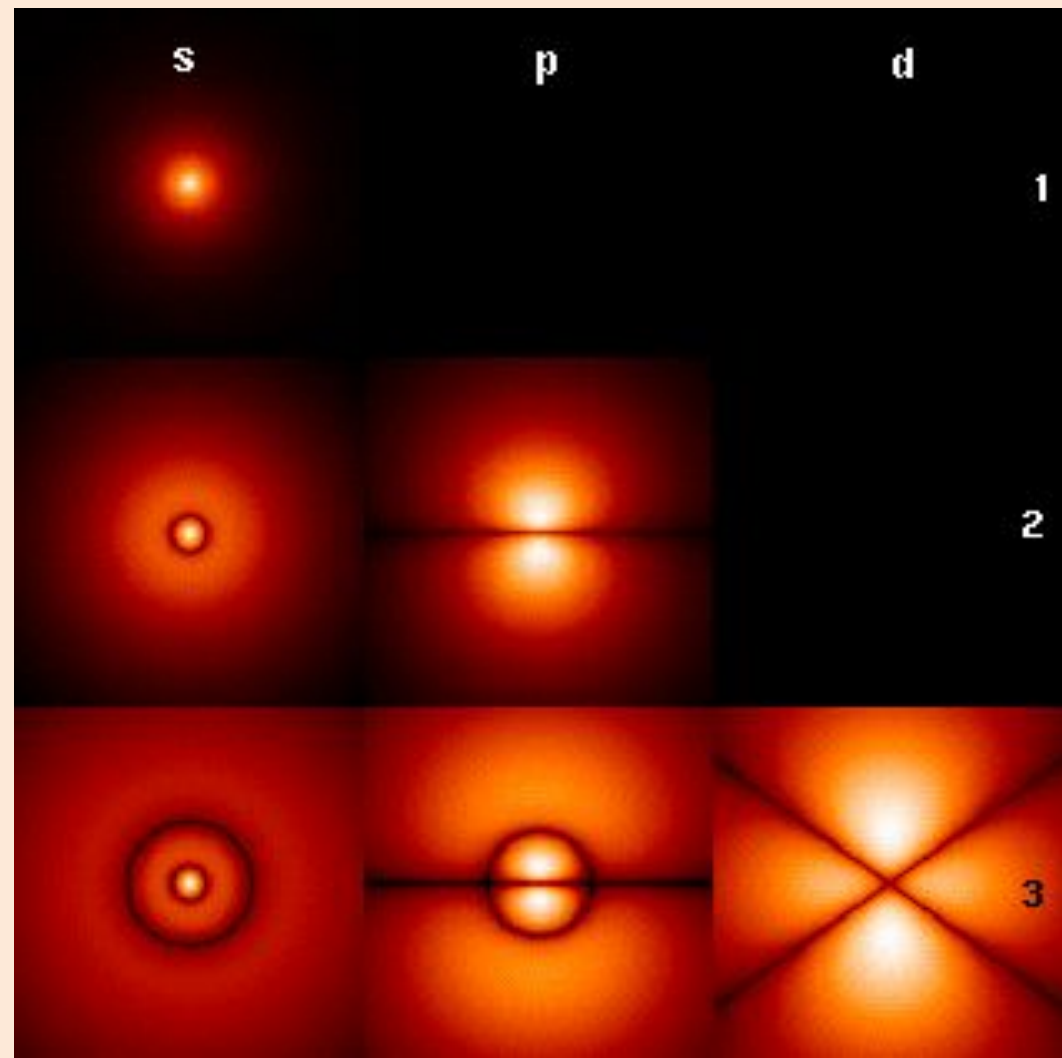
$\ell = 0, 1, 2, \dots, n-1$ - орбитальное квантовое
число.

Оно определяет размер и
форму электронной орбиты.

Состояния с различными | обозначают латинскими

	Обозначен ие
0	<i>s</i>
1	<i>p</i>
2	<i>d</i>
3	<i>f</i>

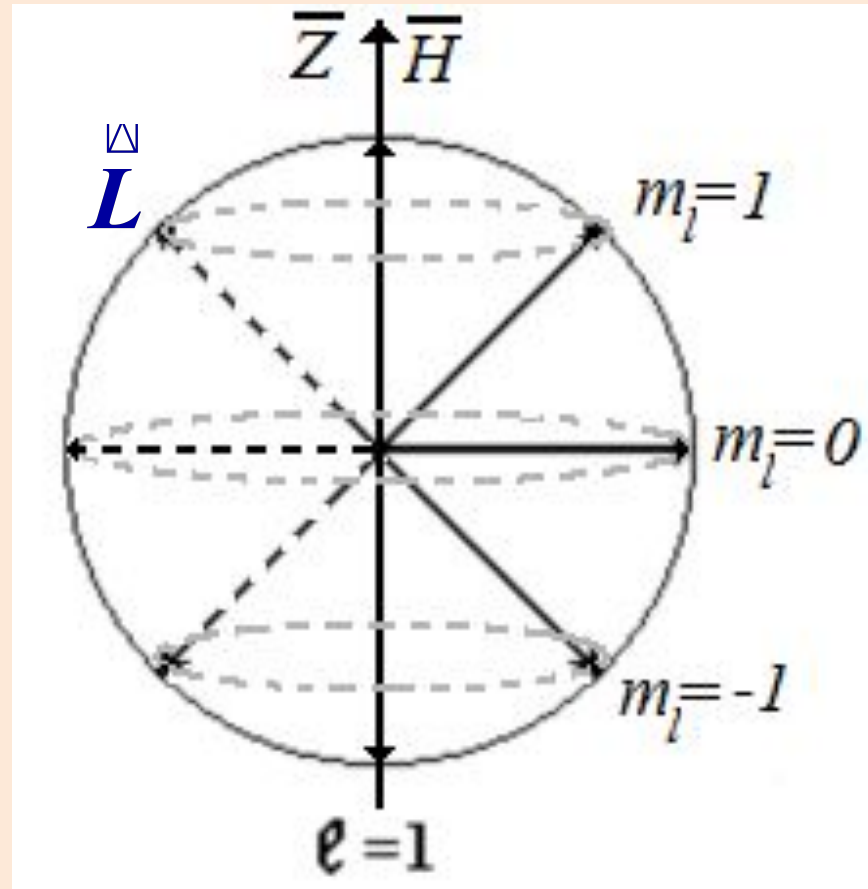
Вид орбитали	Форма орбитали
s	шарик
p	три шарика в ряд
d	пять шариков в крест
f	семь шариков в крест



Выделим в пространстве
какое-либо направление,
например, направление
магнитного поля.

Проекция момента
импульса электрона на это
направление может иметь
только дискретные
значения.

Вектор момента импульса электрона
прецессирует вокруг направления
магнитного поля \vec{H} .

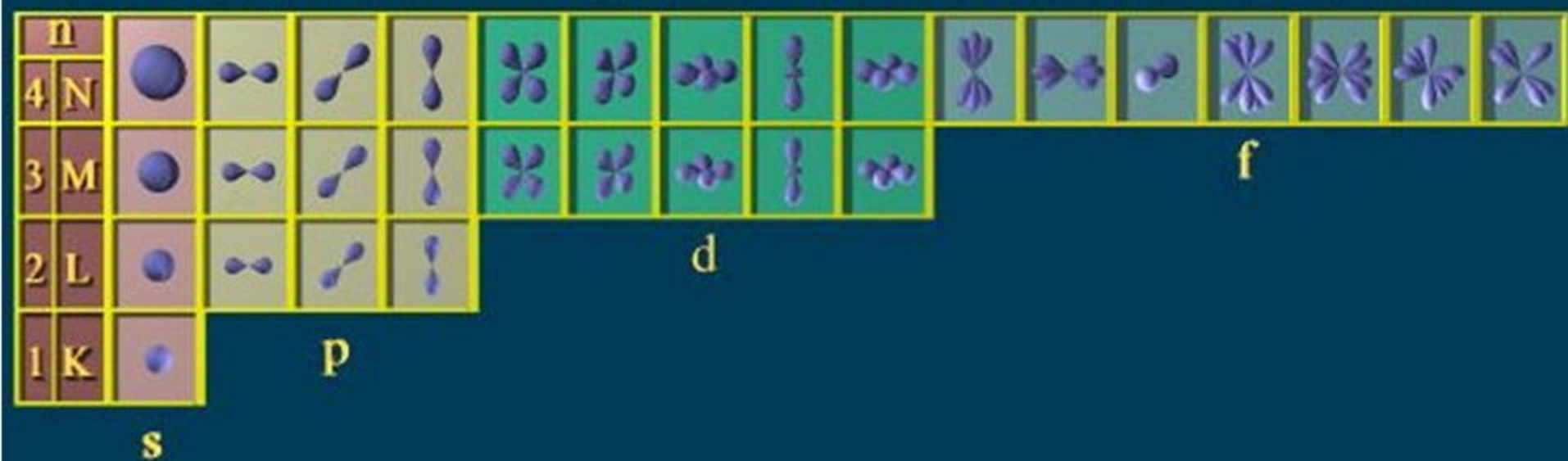


Проекция момента импульса на направление z имеет дискретные значения m_l ($m = 0, \pm 1, \pm 2 \dots \pm \ell$)



m – магнитное
квантовое
число
Оно задает
ориентацию
орбиты в
пространстве.

Пространственная ориентация электронных орбиталей



**Аналогично механическому
моменту импульса квантуется
орбитальный магнитный момент**

электрона:

$$\frac{M_l}{L} = \frac{I \cdot S}{mv \cdot r} = \frac{e}{T} \cdot \frac{\pi \cdot r^2}{mv \cdot r} = \frac{e}{2m}$$

$$I = \frac{\sum q}{t} = \frac{e}{T}$$

$$v = \frac{2\pi \cdot r}{T}$$

$$M_\ell = g L$$

$$g = -\frac{e}{2m} - \text{гиromагнитное отношение}$$

$$M_\ell = g \sqrt{\ell(\ell+1)} = -\mu_B \sqrt{\ell(\ell+1)}$$

$$\mu_B = \frac{e}{2m} - \text{магнетон Бора}$$

$$L=\boxtimes\sqrt{\ell(\ell+1)}$$

Квантование спина

Спин электрона $\overset{\triangle}{L}_S$ – это его собственный момент импульса.

Спин квантуется по закону:

$$L_S = \hbar \sqrt{s(s+1)}$$

$$s = \frac{1}{2} -$$

спиновое
квантовое число

Собственный магнитный момент электрона:

$$\overset{\otimes}{M}_S = -2g\overset{\otimes}{L}_S = -\frac{e}{m}\overset{\otimes}{L}_S$$

$$\overset{\otimes}{M}_S = -\frac{e\otimes}{m} \sqrt{s(s+1)} = 2\mu_B \sqrt{s(s+1)}$$

**Проекция спина электрона на
направление магнитного поля
может принимать только одно
из двух значений**

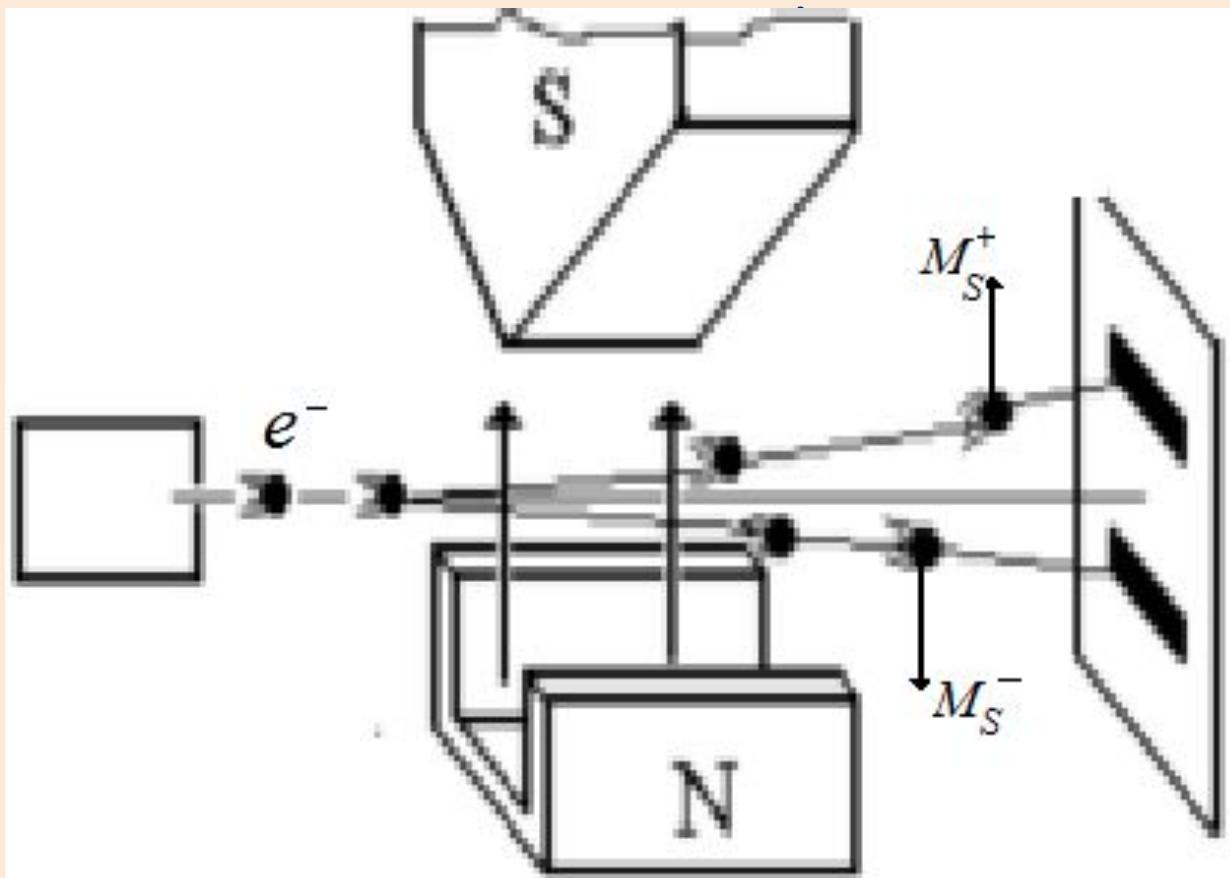
$$L_{s,z} = m_s \otimes$$

$$m_s = \pm \frac{1}{2}$$

**магнитное
спиновое
квантовое число**

**Квантование спина
электрона
экспериментально
доказано опытами
Штерна и Герлаха.**

Опыт заключался в прохождении пучка электронов через сильно неоднородное магнитное поле. Наблюдалось разделение потока электронов на два пучка с противоположными магнитными



Вывод:

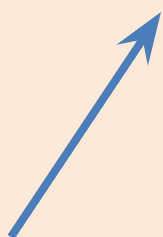
Состояние электрона в атоме определяется набором 4-х квантовых чисел:

- **главного n , ($n = 1, 2, 3, \dots$)**
- **орбитального l , ($l = 0, 1, 2, \dots, n-1$)**
- **магнитного m , ($m = -l, \dots, -1, 0, 1, \dots, l$)**
- **спинового магнитного m_s , ($m_s = -1/2, +1/2$)**

Число состояний на энергетическом уровне с главным квантовым числом

n:

$$N = 2 \sum_{\ell=0}^{n-1} (2\ell + 1) = 2n^2$$



с учетом спина

Совокупность электронов с одинаковым главным числом n образует

n	Оболочка	Число электрон ов
1	K	2
2	L	8
3	M	18
4	N	32

Правила отбора:
возможны лишь такие
переходы между
состояниями, при которых

$$\Delta \ell = \pm 1; \quad \Delta m_\ell = 0, \pm 1.$$

Серия Лаймана:

$$np \rightarrow 1s$$

$$n = 2, 3\dots$$

Серия Бальмера:

$$np \rightarrow 2s, ns \rightarrow 2p, nd \rightarrow 2p$$

$$n = 3, 4\dots$$